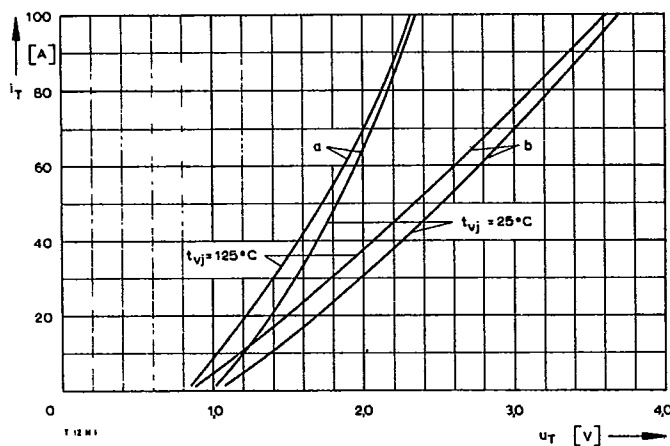
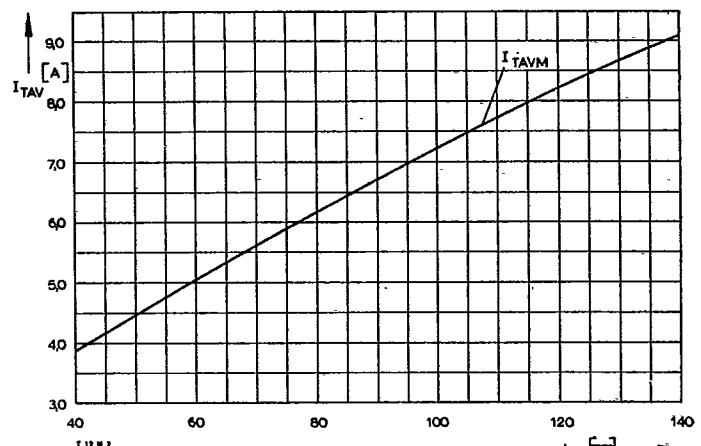


T12 N

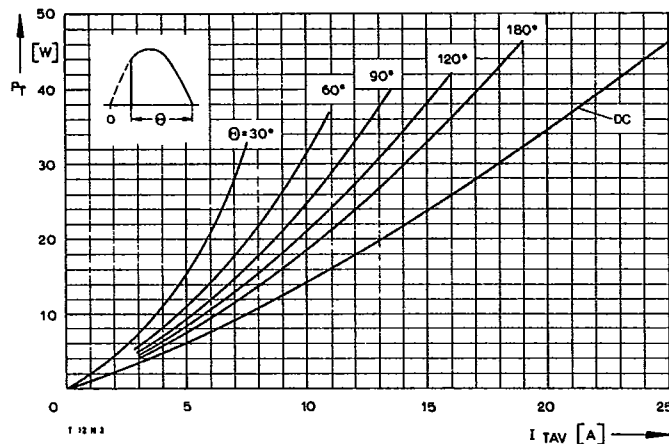
Type Range		T12 N	400	600	700	800	900	1000	1100	1200
Elektrische Eigenschaften	Electrical properties									
Höchstzulässige Werte	Maximum permissible values									
U_{DRM} , U_{RRM}	Periodische Vorwärts- und Rückwärts-Spitzenperrspannung	repetitive peak forward off-state and reverse voltages							400...1200	V
I_{TRMSM}	Effektiver Durchlaßstrom	RMS on-state current							30	A
I_{TAVM}	Dauergrenzstrom	average on-state current	$t_0 = 85^\circ\text{C}$						12	A
I_{TRM}	Periodischer Spitzenstrom	repetitive peak on-state current	$t_0 = 50^\circ\text{C}$						19	A
I_{TSM}	Stoßstrom-Grenzwert	surge current	$t = 10\text{ ms}, t_0 = 45^\circ\text{C}$						180	A
$\int i^2 dt$	Grenzlastintegral	$\int i^2 dt$ -value	$t = 10\text{ ms}, t_0 = 125^\circ\text{C}$						220	A
$(di/dt)_{cr}$	Kritische Stromsteilheit	critical rate of rise of on-state current	$t = 10\text{ ms}, t_0 = 45^\circ\text{C}$						200	A ² s
$(du/dt)_{cr}$	Kritische Spannungssteilheit	critical rate of rise of off-state voltage	$t = 10\text{ ms}, t_0 = 125^\circ\text{C}$						240	A ² s
			nicht periodisch/non repetitive						200	A ² s
			Dauerbetrieb/continuous operation, $I_{TM} = 120\text{ A}$						300	A/ μs
			Steuergenerator/pulse generator: $u_L = 8\text{ V}, i_k = 0,25\text{ A}, di_k/dt \geq 0,25\text{ A}/\mu\text{s}$						60	A/ μs
			$u_D = 67\% U_{DRM}$							
			5. Kennbuchstabe/5th letter B						50	V/ μs
			5. Kennbuchstabe/5th letter E						200	V/ μs
			5. Kennbuchstabe/5th letter C						400	V/ μs
Charakteristische Werte	Characteristic values									
U_T	Obere Durchlaßspannung	max. on-state voltage	$t_0 = 25^\circ\text{C}, i_T = 60\text{ A}$						2,75	V
U_{TO}	Schleusenspannung	threshold voltage	$t_0 = 125^\circ\text{C}$						1,2	V
r_T	Ersatzwiderstand	slope resistance	$t_0 = 125^\circ\text{C}$						26	m Ω
U_{GT}	Obere Zündspannung	max. gate trigger voltage	$t_0 = 25^\circ\text{C}, u_D = 6\text{ V}, R_A = 10\Omega$						2	V
I_{GT}	Oberer Zündstrom	max. gate trigger current	$t_0 = 25^\circ\text{C}, u_D = 6\text{ V}, R_A = 10\Omega$						50	mA
	Unterer Zündstrom	min. gate trigger current	$t_0 = 125^\circ\text{C}, u_D = 6\text{ V}, R_A = 10\Omega$						0,5	mA
I_H	Oberer Haltestrom	max. holding current	$t_0 = 25^\circ\text{C}, u_D = 6\text{ V}, R_A = 10\Omega$						100	mA
I_L	Oberer Einraststrom	max. latching current	$t_0 = 25^\circ\text{C}, u_D = 6\text{ V}, R_{GK} \geq 20\Omega$						280	mA
I_D, I_R	Oberer Vorwärts- und Rückwärts-Sperrstrom	max. forward off-state and reverse currents	$t_0 = 125^\circ\text{C}, u_D = U_{DRM} (u_R = U_{RRM})$						5	mA
t_{gd}	Oberer Zündverzug	max. gate controlled delay time							1,8	μs
t_q	Typische Freiwerdezeit	typical turn-off time							60	μs
C_{null}	Typische Nullkapazität	typical zero capacitance	Steuergenerator/pulse generator: $I_G = 0,25\text{ A}, di_G/dt = 0,5\text{ A}/\mu\text{s}, t_0 = 10\mu\text{s}$						250	pF
Thermische Eigenschaften	Thermal properties									
R_{thJC}	Innerer Wärmewiderstand	thermal resistance, junction to case	$\Theta = 180^\circ\text{K}/\text{W}$, sinus						$\leq 1,6$	$^\circ\text{C/W}$
		operating temperature	DC						$\leq 1,31$	$^\circ\text{C/W}$
	Lagertemperatur	storage temperature							-40	$^\circ\text{C} \dots +125^\circ\text{C}$
									-40	$^\circ\text{C} \dots +130^\circ\text{C}$
Mechanische Eigenschaften	Mechanical properties									
	Si-Element glaspassiviert, gelötet	Si-pellet glass-passivated, soldered							12...20	g
G	Gewicht, Bauform C/R/U	weight, case design C/R/U							2	Nm
M	Anzugsdrehmoment	tightening torque							Seite/page	232
	Maßbilder	outlines							2	mm
	Kriechstrecke	creepage distance							C	
	Feuchtekategorie	humidity classification	DIN 40040							
	Schüttelfestigkeit	vibration resistance	$f = 50\text{ Hz}$						5x9,81	m/s^2



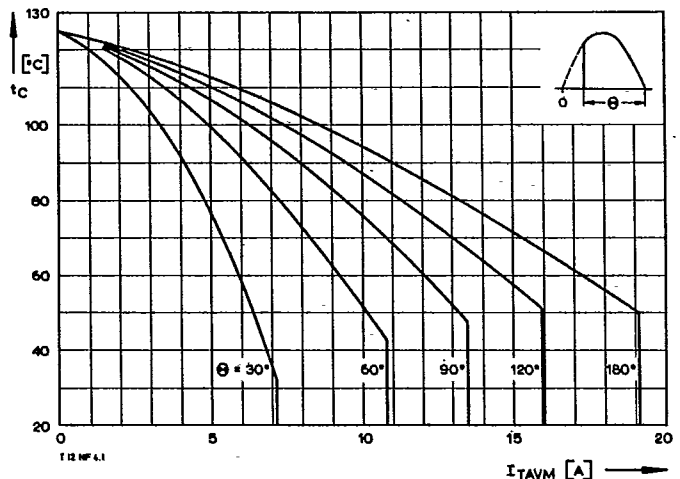
Bild/Fig. 1
Durchlaßkennlinien/On-state characteristics
a – Typische Kennlinien/typical characteristics
b – Grenzkennlinien/limiting characteristics



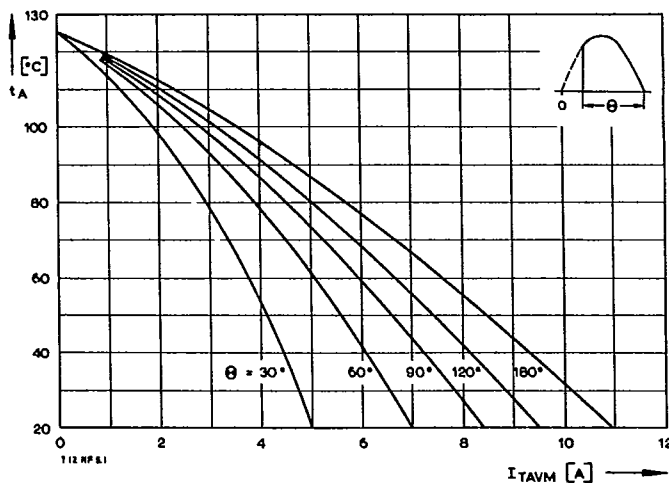
Bild/Fig. 2
Dauergrenzstrom I_{TAVM} in Abhängigkeit von der Kantenlänge L eines quadratischen Kühlbleches bei Luftselbstkühlung, $t_A = 45^\circ\text{C}$.
Limiting mean on-state current I_{TAVM} versus edge length L of a square cooling fin at natural cooling, $t_A = 45^\circ\text{C}$.



Bild/Fig. 3
Durchlaßverlustleistung P_T /On-state power loss P_T
Parameter: Stromflußwinkel Θ /current conduction angle Θ

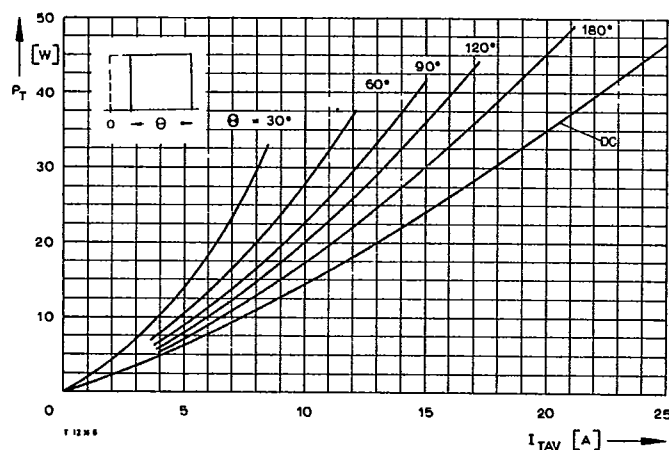


Bild/Fig. 4
Höchstzulässige Gehäusetemperatur t_C
Maximum allowable case temperature t_C

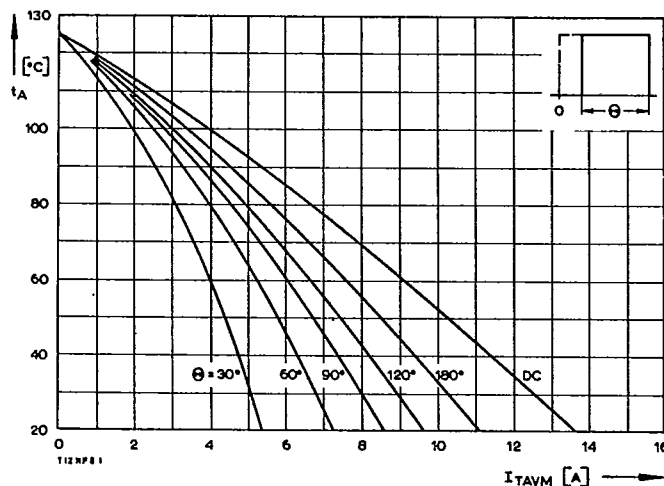


Bild/Fig. 5
Höchstzulässige Kühlmittelempfertur t_A bei Luftselbstkühlung,
Kühlkörper KL 21...
Maximum allowable cooling medium temperature t_A at natural cooling,
heatsink type KL 21...

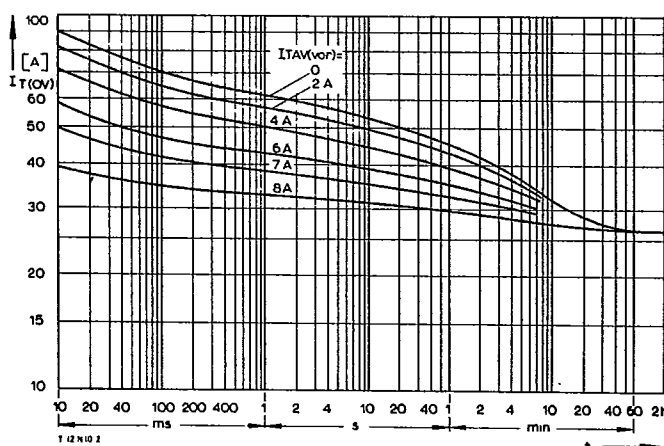
T12 N



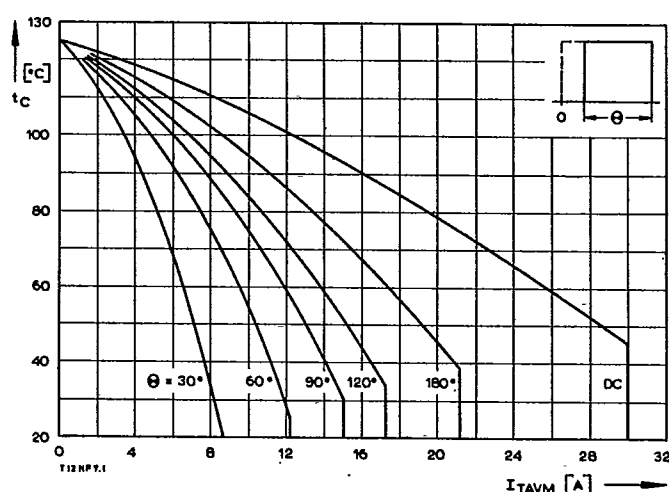
Bild/Fig. 6
Durchlaßverlustleistung P_T /On-state power loss P_T
Parameter: Stromflußwinkel Θ /current conduction angle Θ



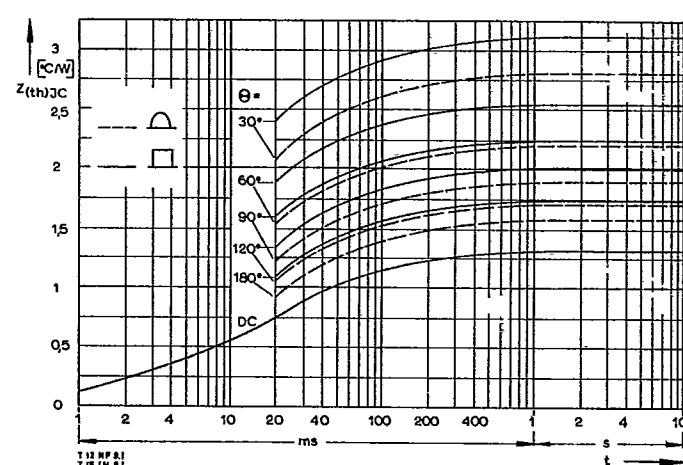
Bild/Fig. 8
Höchstzulässige Kühlmitteltemperatur t_A bei Luftselbstkühlung,
Kühlkörper KL 21...
Maximum allowable cooling medium temperature t_A at natural cooling,
heatsink type KL 21...



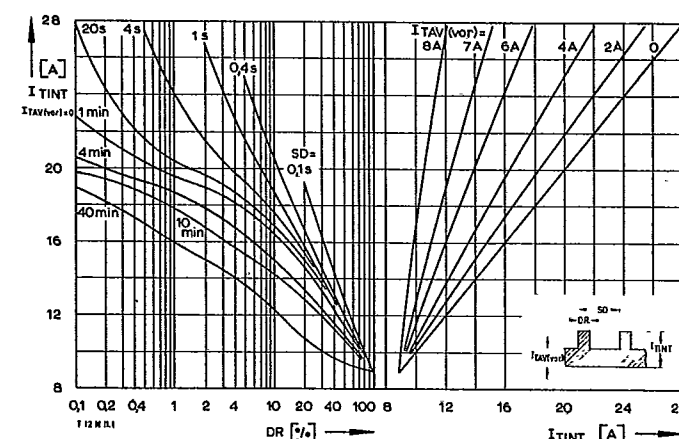
Bild/Fig. 10
Überstrom $I_{TAV(vor)}$ bei Luftselbstkühlung, $t_A = 45^\circ\text{C}$, Kühlkörper KL 21...
Overload on-state current $I_{TAV(vor)}$ at natural cooling, $t_A = 45^\circ\text{C}$,
heatsink type KL 21...
Parameter: Vorlaststrom/pre-load current $I_{TAV(vor)}$



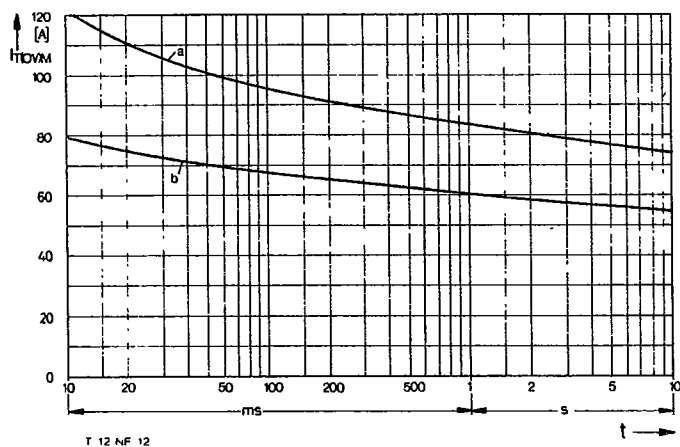
Bild/Fig. 7
Höchstzulässige Gehäusetemperatur t_C
Maximum allowable case temperature t_C



Bild/Fig. 9
Transienter innerer Wärmewiderstand $Z_{(th)JC}$ bei sinus- und rechteckförmigem
Stromverlauf.
Transient thermal impedance $Z_{(th)JC}$, junction to case at sinusoidal and
square wave current.



Bild/Fig. 11
Höchstzulässiger Durchlaßstrom I_{TINT} bei Aussetzbetrieb und Luftselbstkühlung,
 $t_A = 45^\circ\text{C}$, Kühlkörper KL 21...
Limiting on-state current I_{TINT} during intermittent operation at natural cooling,
 $t_A = 45^\circ\text{C}$, heatsink type KL 21...
Parameter: Spieldauer/cycle duration SD
Vorlaststrom/pre-load current $I_{TAV(vor)}$



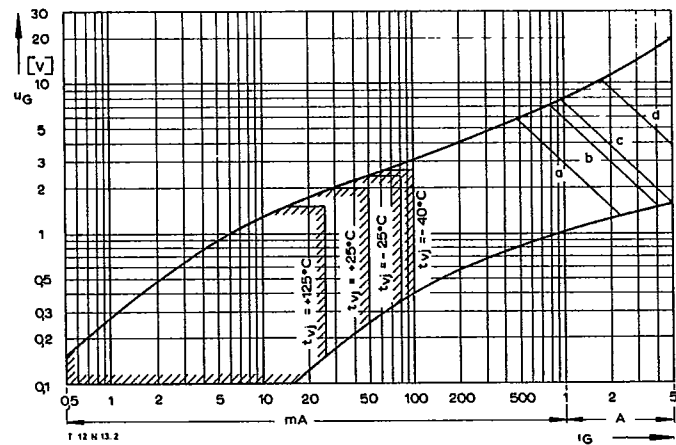
Bild/Fig. 12

Grenzstrom I_{TOVIM} bei Luftselbstkühlung, Kühlkörper KL 21... $U_{RM} = 0,8 U_{RMM}$.
Limiting overload on-state current I_{TOVIM} at natural cooling, heatsink type KL 21...
 $U_{RM} = 0,8 U_{RMM}$.

a - Belastung aus Leerlauf/current surge under no-load conditions

b - Belastung nach Betrieb mit Dauergrenzstrom I_{TAVM} /

Current surge occurs during operation at limiting mean on-state current I_{TAVM}

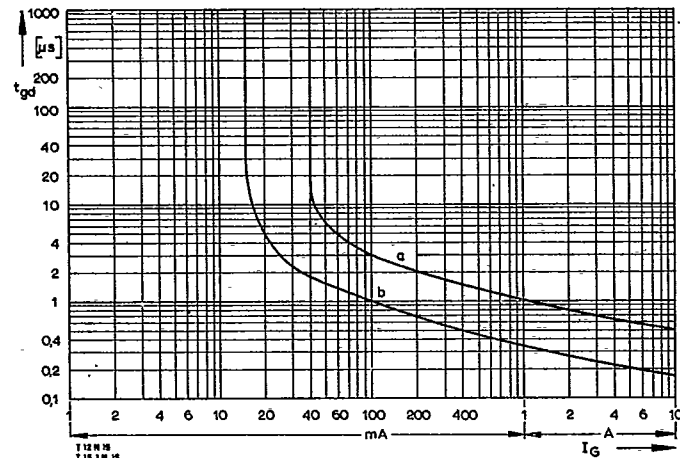


Bild/Fig. 13

Zündbereich und Spitzensteuerleistung bei $u_D \geq 6 V$.

Gate characteristic and peak gate power dissipation at $u_D \geq 6 V$.

Parameter:	a	b	c	d	
Steuerimpulsdauer/Pulse duration t_g	[ms]	10	1	0,5	0,1
Höchstzulässige Spitzensteuerleistung/ Maximum allowable peak gate power	[W]	3	6	8	20



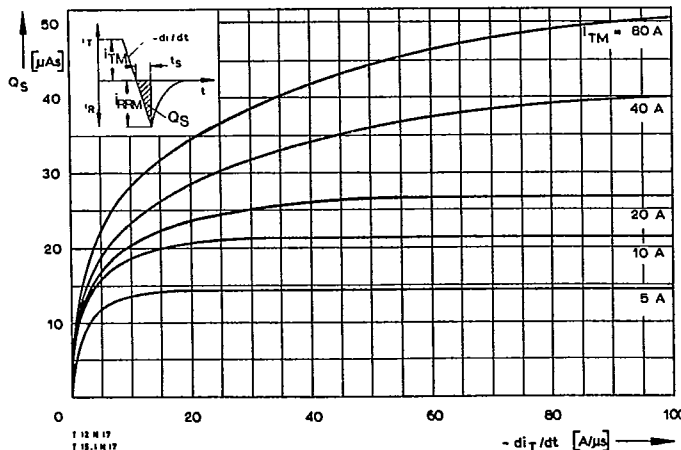
Bild/Fig. 14

Zündverzug t_{gd} bei $i_{TM} = 4 A$, $t_{vj} = 25^\circ C$.

Gate controlled delay time t_{gd} at $i_{TM} = 4 A$, $t_{vj} = 25^\circ C$.

a - äußerster Verlauf/limiting characteristic

b - typischer Verlauf/typical characteristic



Bild/Fig. 15

Nachlauffladung Q_S in Abhängigkeit von der abkommunizierenden Stromsteilheit $-di/dt$ bei $t_{vj} = 125^\circ C$.

Der angegebene Verlauf wird von 90% aller Thyristoren nicht überschritten.

Lag charge Q_S versus the rate of decay of the forward on-state current $-di/dt$ at $t_{vj} = 125^\circ C$.

These curves are valid for 90% of all thyristors.